

УДК 678.01:53

**ВЛИЯНИЕ ОБЪЕМНЫХ ЭФФЕКТОВ НА РАЗМЕРЫ  
МАКРОМОЛЕКУЛ В ОБЛАСТИ ПЕРЕХОДА СПИРАЛЬ — КЛУБОК**

*A. M. Скворцов, Ю. Е. Эйзнер*

Известно, что свойства макромолекул в растворе определяются не только их гибкостью, но и взаимодействиями дальнего порядка (объемными эффектами) [1—3]. Однако влияние этих взаимодействий на размеры макромолекул до сих пор рассматривалось лишь применительно к случаю клубкообразных молекул [3, 4]. В то же время многочисленные эксперименты свидетельствуют о том, что переход спираль — клубок у полипептидов происходит с участием промежуточной конфигурации, в которой

макромолекула содержит как спиральные, так и клубкообразные участки (см., например, [5]). Изменение размеров макромолекулы при переходе спираль — клубок рассматривалось Нагаи [6], который показал, что при небольших степенях полимеризации, когда размеры макромолекулы в спиральном и в клубкообразном состояниях близки (это возможно потому, что контурная длина макромолекулы в клубкообразном состоянии в несколько раз больше ее контурной длины в спиральном состоянии), эти размеры должны проходить через минимум. Однако взаимодействия дальнего порядка в работе [6] не учитывались. В настоящей работе вычисляется влияние объемных эффектов

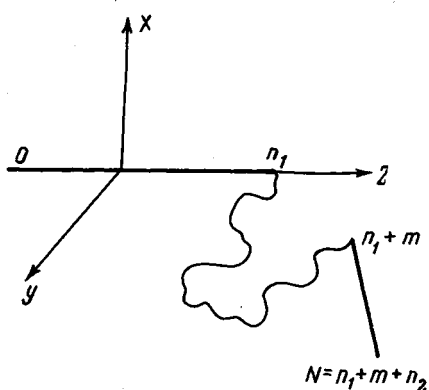


Рис. 1. Модель макромолекулы при переходе спираль — клубок

на размеры макромолекулы, состоящей из спиральных и клубкообразных участков.

Рассмотрим макромолекулу, содержащую два спиральных участка из  $n_1$  и  $n_2$  мономерных единиц и один клубкообразный участок из  $m$  единиц, заключенный между ними (рис. 1).

При учете одновременных соударений лишь одной пары мономерных звеньев, что возможно, если объемные эффекты весьма малы, средний квадрат расстояния между концами макромолекулы равен [7]:

$$\bar{h^2} = \bar{h_0^2} + v \sum_{i < j} \left[ \bar{h_0^2} \int w_0(\mathbf{h}, Q_{ij}) d\mathbf{h} - \int w_0(\mathbf{h}, Q_{ij}) h^2 d\mathbf{h} \right], \quad (1)$$

где  $v$  — эффективный исключенный объем звена, а  $w_0(\mathbf{h}, Q_{ij})$  — функция распределения расстояний между концами цепи в отсутствие объемных

эффектов и при условии, что  $i$ -я и  $j$ -я мономерные единицы соприкасаются. Квадрат расстояния между концами невозмущенной цепи  $\bar{h}_0^2$  в рассматриваемом случае равен

$$\bar{h}_0^2 = a^2(n_1^2 + n_2^2) + b^2m, \quad (2)$$

где  $a$  — расстояние между соседними мономерными единицами в спиральном участке молекулы, а  $b$  — в клубкообразном.

С учетом того, что вероятность соударения  $i$ -го и  $j$ -го сегментов в невозмущенной цепи равна

$$w_0(O_{ij}) = \int w_0(\mathbf{h}, O_{ij}) d\mathbf{h} \quad (3)$$

и с учетом уравнения

$$\int w_0(\mathbf{h}, O_{ij}) h^2 d\mathbf{h} = (\bar{h}_{O_{ij}}^2)_0, \quad (4)$$

где  $(\bar{h}_{O_{ij}}^2)_0$  — средний квадрат расстояния между концами невозмущающей цепи,  $i$ -я и  $j$ -я единицы которой соприкасаются, уравнение (1) можно упростить:

$$\bar{h}^2 = \bar{h}_0^2 + \sum_{i < j} v w_0(O_{ij}) [\bar{h}_0^2 - (\bar{h}_{O_{ij}}^2)_0]. \quad (5)$$

Сумма по  $i$  и  $j$  в правой части (5) состоит в рассматриваемом случае из трех членов: член  $S^{(1)}$ , соответствующий взаимодействиям внутри клубкообразной части ( $n_1 < i < j < n_1 + m$ ),  $S^{(2)}$  и  $S^{(3)}$  — соответствующие взаимодействиям каждого из спиральных участков с клубкообразным (соответственно  $0 < i < n_1$ ,  $n_1 < j < n_1 + m$  и  $n_1 < i < n_1 + m$ ,  $n_1 + m < j < N = n_1 + m + n_2$ ) и  $S^{(4)}$  — взаимодействиям между спиральными участками ( $0 < i < n_1$ ,  $n_1 + m < j < N$ ). Согласно [7]

$$S^{(1)} = \frac{4}{3} \left( \frac{3}{2\pi} \right)^{3/2} \frac{vm^{3/2}}{b}. \quad (6)$$

Введя систему координат, показанную на рис. 1, так чтобы в ее начале помещалась  $i$ -я мономерная единица, получаем в случае  $0 < i < n_1$ ,  $n_1 < j < n_1 + m$ :

$$w_0^{(2)}(\mathbf{r}_{ij}) = A \exp \left\{ - \frac{x_j^2 + y_j^2 + [z_j - a(n_1 - i)]^2}{(2/3)b^2(j - n_1)} \right\}, \quad (7)$$

где  $x_j$ ,  $y_j$ ,  $z_j$  — координаты  $j$ -й единицы, а  $A$  — нормировочная постоянная. Отсюда

$$w_0^{(2)}(O_{ij}) = \left[ \frac{3}{2\pi b^2(j - n_1)} \right]^{3/2} \exp \left[ - \frac{a^2(n_1 - i)^2}{(2/3)b^2(j - n_1)} \right]. \quad (8)$$

Аналогично, при  $n_1 < i < n_1 + m$ ,  $n_1 + m < j < N$

$$w_0^{(3)}(O_{ij}) = \left[ \frac{3}{2\pi b^2(n_1 + m - i)} \right]^{3/2} \exp \left[ - \frac{a^2(j - n_1 - m)^2}{(2/3)b^2(n_1 + m - i)} \right]. \quad (9)$$

Для вычисления  $w_0^{(4)}(O_{ij})$  мысленно разорвем молекулу в месте расположения  $(n_1 + m)$ -й мономерной единицы и, закрепив  $i$ -ю единицу в на-

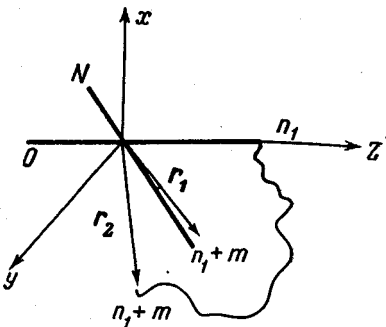


Рис. 2. Расчет взаимодействий между двумя спиральными участками

чале координат (т. е. совместив ее с  $i$ -й единицей), заметим, что вероятность одновременного попадания радиус-векторов  $\mathbf{r}_1$  и  $\mathbf{r}_2$  точек разрыва молекулы (рис. 2) в точку  $(x, y, z)$  равна

$$w(x, y, z) = A' \delta[\sqrt{x^2 + y^2 + z^2} - a(j - n_1 - m)] \times \\ \times \exp\left\{-\frac{x^2 + y^2 + [z - a(n_1 - i)]^2}{(2/3)b^2m}\right\}, \quad (10)$$

где  $\delta(x)$  — дельта-функция Дирака, а  $A'$  — нормировочная постоянная. Интегрируя это выражение по всему пространству, получаем:

$$w^{(4)}(O_{ij}) = \frac{1}{2\pi a^2} \left(\frac{3}{2\pi b^2 m}\right)^{3/2} \cdot \frac{\sinh[3a^2(n_1 - i)(j - n_1 - m)/b^2 m]}{(n_1 - i)(j - n_1 - m)} \times \\ \times \exp\left\{-\frac{a^2[(n_1 - i)^2 + (j - n_1 - m)^2]}{(2/3)b^2 m}\right\}. \quad (11)$$

Подставляя в уравнение (5) уравнения (2), (8), (9) и (11), а также очевидные выражения для  $(\overline{h_{O_{ij}}^2})_0^{(2)}$ :

$$(\overline{h_{O_{ij}}^2})_0^{(2)} = a^2(i^2 + n_2^2) + b^2(n_1 + m - j) \quad (12)$$

$$(\overline{h_{O_{ij}}^2})_0^{(3)} = a^2[n_1^2 + (N - j)^2] + b^2(i - n_1)$$

$$(\overline{h_{O_{ij}}^2})_0^{(4)} = a^2[i^2 + (N - j)^2]$$

и, заменяя суммирование интегрированием, имеем:

$$S^{(i)} = \left(\frac{3}{2\pi}\right)^{3/2} \frac{v}{b} \left\{ \frac{2^{5/2}}{3^{3/2}} \gamma m \omega_{i-1} \left( 1 - \frac{10 - 3\sqrt{\pi}}{16} e^{-\omega_{i-1}^2} \right) + \right. \\ \left. + \frac{(5\sqrt{\pi} - 3)}{3\sqrt{6}} \gamma m \omega_{i-1}^2 [1 - \Phi(\omega_{i-1})] - (2\sqrt{\pi} - \pi) \gamma m \Phi(\omega_{i-1}) \right\}. \quad (i = 2, 3) \quad (13)$$

$$\sum_{i=1}^3 S^{(i)} = \left(\frac{3}{2\pi}\right)^{3/2} \frac{v}{b} \left\{ \frac{4}{3} N m^{1/2} - 0.35 \gamma m (\omega_1 e^{-\omega_1^2} - \omega_2 e^{-\omega_2^2}) - \right. \\ \left. - 0.35 \gamma m [\Phi(\omega_2) - \Phi(\omega_1)] \right\} \quad (14)$$

$$S^{(4)} = \left(\frac{3}{2\pi}\right)^{3/2} \frac{v}{b} \frac{\gamma^2}{2\pi\sqrt{m}} \sum_{j=1}^5 I_j, \quad (15)$$

где

$$I_1 = m \int_0^{\omega_1} \frac{dt}{t} \int_0^{\omega_2} \operatorname{sh}(2t\tau) \exp(-t^2 - \tau^2) \frac{d\tau}{\tau}, \\ I_j = \frac{4}{3} m \omega_{j-1} \int_0^{\omega_{6-j}} \frac{dt}{t} \int_0^{\omega_{j-3}} \operatorname{sh}(2t\tau) \exp(-t^2 - \tau^2) d\tau \quad (j = 2, 3), \quad (16) \\ I_j = -\frac{2}{3} m \int_0^{\omega_{6-j}} \frac{dt}{t} \int_0^{\omega_{j-3}} \operatorname{sh}(2t\tau) \exp(-t^2 - \tau^2) \tau d\tau \quad (j = 4, 5).$$

Здесь

$$\gamma = \frac{b}{a}, \quad \omega_1 = \left[ \frac{n_1^2}{(\frac{2}{3})\gamma^2 m} \right]^{\frac{1}{2}}; \quad \omega_2 = \left[ \frac{(N - n_1 - m)^2}{(\frac{2}{3})\gamma^2 m} \right]^{\frac{1}{2}}, \quad (17)$$

$$\Phi(\omega) = \frac{\sqrt{\pi}}{2} \int_0^\omega e^{-t^2} dt \text{ — интеграл вероятности.}$$

Легко видеть, что при  $m \gg 1$ ,  $n_1 \gg \sqrt{m}$  и  $n_2 \gg \sqrt{m}$  величины  $S^{(i)}$  ведут себя следующим образом:

$$S^{(1)} \sim a_1 \left( \frac{v}{b} \right) m^{\frac{1}{2}}, \quad S^{(2)} \sim a_2 \left( \frac{v}{b} \right) \frac{n_1^2}{\gamma} \left[ 1 + a_3 \frac{\gamma \sqrt{m}}{n_1} \right],$$

$$S^{(3)} \sim a_4 \left( \frac{v}{b} \right) \frac{n_2^2}{\gamma} \left[ 1 + a_5 \frac{\gamma \sqrt{m}}{n_2} \right],$$

$$S^{(4)} \sim \left( \frac{v}{b} \right) \gamma \left[ a_6 n_1 \ln \left( \frac{n_2}{\gamma \sqrt{m}} \right) + a_7 n_2 \ln \left( \frac{n_1}{\gamma \sqrt{m}} \right) \right],$$

где  $a_1, \dots, a_7$  — численные множители.

Очевидно также, что все эти величины исчезают при  $m = 0$ , а величины  $S^{(2)}$ ,  $S^{(4)}$  и  $S^{(3)}$ ,  $S^{(4)}$  — исчезают также соответственно при  $n_1 = 0$  и  $n_2 = 0$ .

Из формул (14) — (17) нетрудно получить и более точные оценки при  $N \gg 0,4\gamma^2$

$$\sum_{i=1}^3 S^{(i)} \simeq \frac{4}{3} \left( \frac{3}{2\pi} \right)^{\frac{1}{2}} \frac{v}{b} N m^{\frac{1}{2}} \left[ 1 - O \left( \frac{\gamma \sqrt{m}}{N} \right) \right] \quad (18)$$

при любых степенях спирализации,

$$S^{(4)} \sim O(\gamma^2 \sqrt{m}) \quad \text{при } 0 < \omega_{i-1} < 0,5 \quad (19)$$

$$S^{(4)} \simeq \left( \frac{3}{2\pi} \right)^{\frac{1}{2}} \frac{\gamma}{\sqrt{6}\pi} \frac{v}{b} (n_1 \ln \omega_1 + n_2 \ln \omega_2) \quad \text{при } \omega_{i-1} > 0,5. \quad (20)$$

Здесь  $i = 2, 3$ .

Так как для большинства молекул полипептидов  $\gamma < 10$ , то для  $N > 10^3$ :

$$\bar{h}^2 = \bar{h}_0^2 + \frac{4}{3} \left( \frac{3}{2\pi} \right)^{\frac{1}{2}} \frac{v}{b} N m^{\frac{1}{2}} \quad \text{при } \frac{m}{N} > 0,3, \quad (21)$$

$$\bar{h}^2 = \bar{h}_0^2 + \left( \frac{3}{2\pi} \right)^{\frac{1}{2}} \frac{v}{b} \left[ \frac{4}{3} N m^{\frac{1}{2}} + \frac{\gamma}{\sqrt{6}\pi} (n_1 \ln \omega_1 + n_2 \ln \omega_2) \right]$$

$$\text{при } \frac{m}{N} < 0,3. \quad (22)$$

Полученные формулы (21) и (22) справедливы для макромолекулы, изображенной на рис. 1, однако их легко обобщить и на случай любого числа переломов. Рассмотрим макромолекулу, состоящую из  $\xi$  спиральных участков по  $n$  сегментов каждый, разделенных  $\xi$  клубкообразными участками, каждый из которых состоит из  $m$  сегментов. Тогда  $\bar{h}_0^2(\xi) = (a^2 n^2 + b^2 m) \xi$  и  $\bar{h}^2(\xi)$ , с учетом взаимодействий между сегментами в  $\xi$  клубках, между каждой палкой и соседним клубком и между  $(\xi - 1)$  парой палок, разделенных одним клубком, будет даваться формулой (21) при  $m/N > 0,3$  с той лишь разницей, что  $\bar{h}_0^2$  следует заменить на  $\bar{h}_0^2(\xi)$ .

А при  $m / N < 0,3$  получаем:

$$\bar{h^2}(\xi) = \bar{h_0^2}(\xi) + \left( \frac{3}{2\pi} \right)^{3/2} \frac{v}{b} \frac{4}{3} N m^{1/2} + \frac{2\gamma(\xi - 1)}{\sqrt{6\pi}} n \ln \omega \Big], \quad (23)$$

где

$$\omega = \left[ \frac{n^2}{(2/3)\gamma^2 m} \right]^{1/2}$$

Приведенные результаты получены, как упоминалось, в предположении о малости объемных эффектов и справедливы, строго говоря, лишь вблизи  $\theta$ -точки. Для того чтобы распространить их на случай больших значений коэффициента набухания клубка  $a = (\bar{h^2} / \bar{h_0^2})^{1/2}$ , воспользуемся уравнением

$$a^3 = 1 + C \frac{vN^2}{(\bar{h_0^2})^{3/2}}, \quad (24)$$

полученным в работах [8, 9] для случая гауссовых клубков и подтвержденным большим экспериментальным материалом, и предположим, что это уравнение справедливо и для других моделей, в частности, для рассмотренной нами модели, с коэффициентом  $C$ , зависящим от модели. Тогда для характеристической вязкости  $[\eta]$ , пропорциональной  $(\bar{h^2})^{1/2}$ , из формулы (21) получаем:

$$\frac{[\eta]}{[\eta]_{\text{кл}}} \simeq \frac{1}{a_{\text{кл}}^3} \left[ \frac{\bar{h_0^2}}{(\bar{h_0^2})_{\text{кл}}} \right]^{3/2} + \frac{(a_{\text{кл}}^3 - 1)}{a_{\text{кл}}^3} \left( \frac{m}{N} \right)^{1/2} \left[ \frac{\bar{h_0^2}}{(\bar{h_0^2})_{\text{кл}}} \right]^{1/2}, \quad (25)$$

$$a_{\text{кл}}^3 = 1 + 2 \left( \frac{3}{2\pi} \right)^{3/2} \frac{v\sqrt{N}}{b^3}$$

— формулу, связывающую  $[\eta] / [\eta]_{\text{кл}}$  со степенью набухания всей макромолекулы в клубке  $a_{\text{кл}}$  отношением невозмущенных размеров макромолекулы к ее невозмущенным размерам в клубке  $\bar{h_0^2} / (\bar{h_0^2})_{\text{кл}}$  и со степенью деспирализации  $m / N$ . Отметим еще раз, что эта формула справедлива и для макромолекулы с  $\xi$  переломами (при этом  $\bar{h_0^2}$  следует заменить на  $\bar{h_0^2}(\xi)$ ). Разумеется, для дальнейших расчетов по этой формуле надо знать зависимость числа переломов  $\xi$  от степени ее спирализации. В работе [10] получена такая зависимость и произведены соответствующие расчеты.

### Выводы

1. Рассмотрена модель макромолекулы, состоящей из спирального и клубкообразного участков. Для этой модели рассчитаны ее размеры с учетом взаимодействий дальнего порядка.

2. Произведено обобщение на случай макромолекулы, состоящей из нескольких чередующихся клубкообразных и спиральных участков.

Институт высокомолекулярных  
соединений АН СССР

Поступила в редакцию  
8 VII 1965

### ЛИТЕРАТУРА

1. P. J. Flory, *Principles of Polymer Chemistry*, N. Y., 1953.
2. М. В. Волькенштейн, Конфигурационная статистика полимерных цепей, М.—Л., 1959.
3. О. Б. Птицын, Успехи физ. наук, 69, 371, 1959.
4. W. H. Stockmayer, *Makromolek. Chem.*, 35, 54, 1960.
5. П. Доти, Сб. Современные проблемы биофизики, 1, 138, 1961.
6. K. Nagai, *J. Chem. Phys.*, 34, 3, 1961.

7. B. H. Zimm, W. H. Stockmayer, M. Fixman, J. Chem. Phys., **21**, 1716, 1953.
  8. M. Fixman, J. Chem. Phys., **23**, 1656, 1955.
  9. О. Б. Птицын, Высокомолек. соед., **3**, 1673, 1961.
  10. О. Б. Птицын, А. М. Скворцов, Биофизика, **10**, 909, 1965.
- 

## THE INFLUENCE OF VOLUME EFFECTS ON DIMENTIONS OF MACROMOLECULES IN THE REGION OF HELIX-COIL TRANSITION

*A. M. Skvortsov, Yu. E. Eizner*

### Summary

Dimentions of macromolecules in the region of helix-coil transition are calculated taking into account long-range interaction. The macromolecule is modelled by alternating sequence of helical and coil-like regions.